

物質の新しい素励起発見を目指して ～ 光誘起相転移研究の立場から～

KEK物構研

岩野薫

背景

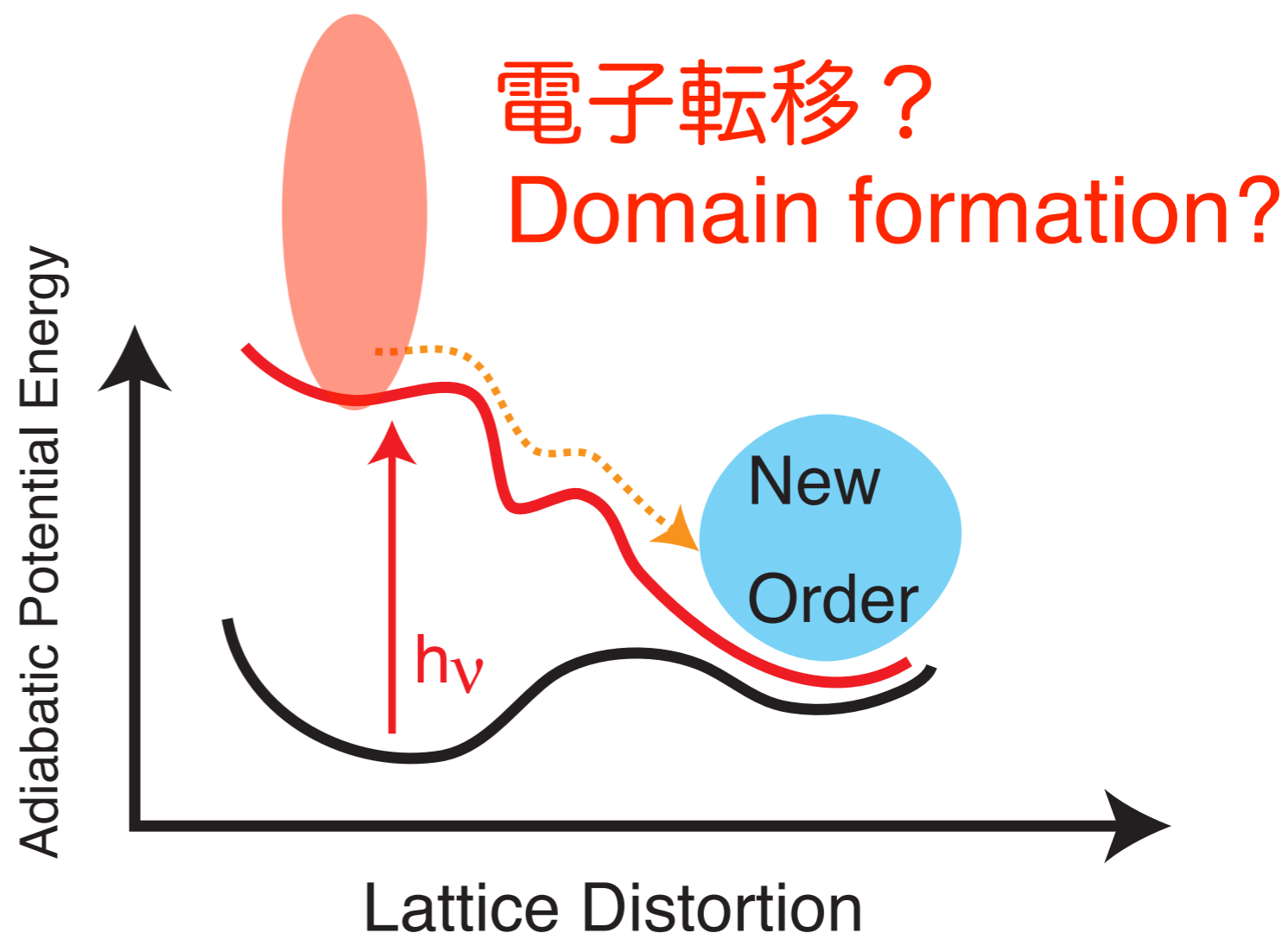
光誘起相転移 = 光で系の性質を巨視的に変化させる
本talkの興味 → 超高速(\sim fs)なドメイン形成

1次元系：

理論◎、実験△

2次元系：

理論○、実験△

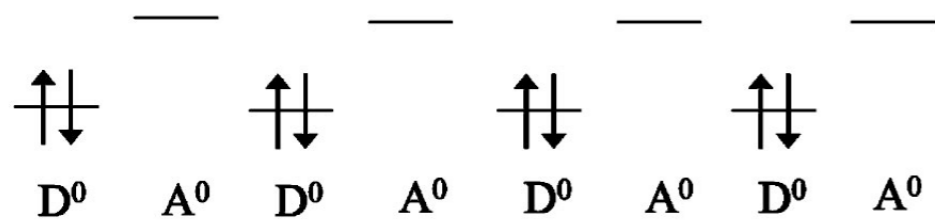


電子自由度と格子自由度の分離

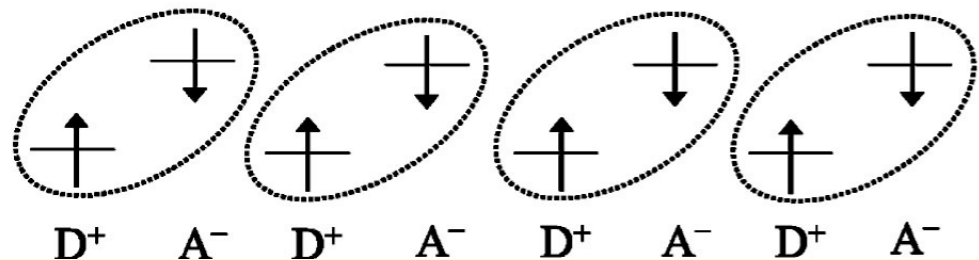
光誘起相転移の超高速性

TTF-CA

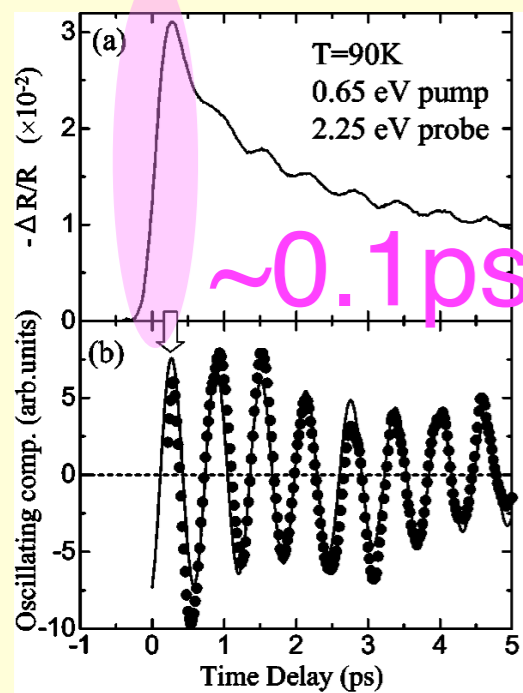
(d) Neutral (N)



(e) Ionic (I)



PIPT

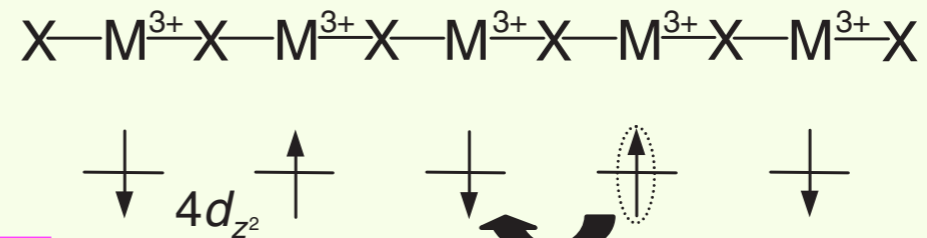


N → I

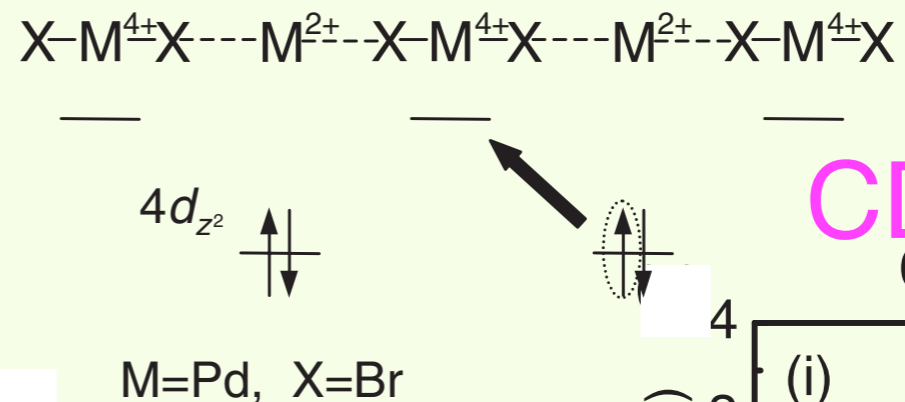
Okamoto et al.,
PRB 70 (2004)
165202

Br-bridged Pd complex

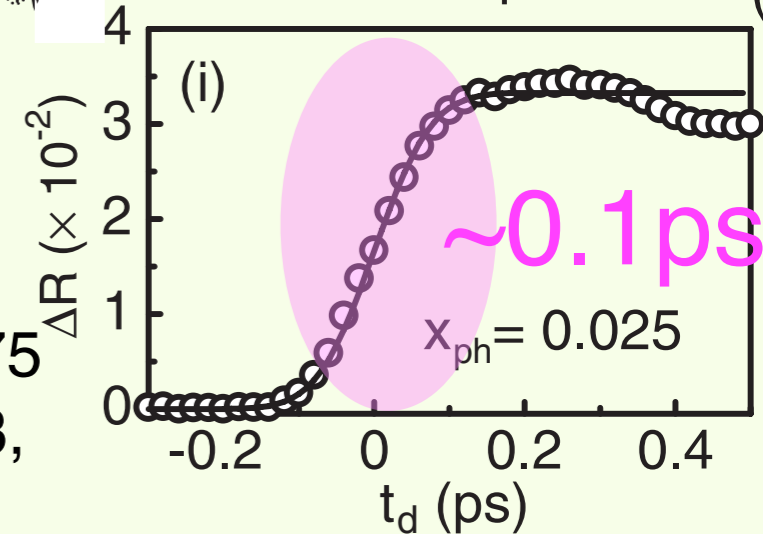
(b) Mott-Hubbard state



(c) CDW state



CDW → MH
0.60 eV probe



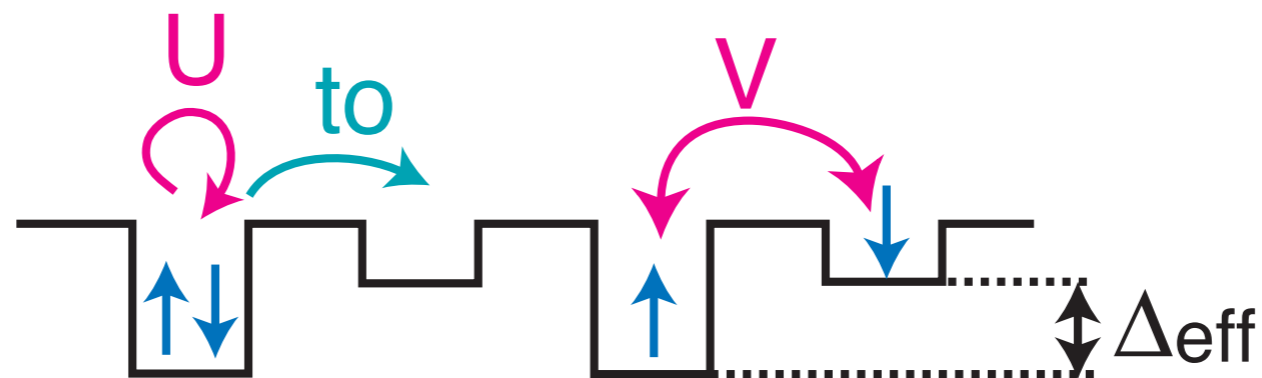
Matsuzaki et al., JPSJ 75
(2007)123701 & PRL 113,
096403 (2014)

$\Delta_{eff} = \Delta - 4V$, and after some rewriting,

$$H = -t_0 \sum_{l\sigma} (C_{l\sigma}^\dagger C_{l+1\sigma} + H.c.) \quad \text{Electron Hopping}$$

$$+ U \sum_l n_{l\uparrow} n_{l\downarrow} + V \sum_l n_l n_{l+1} \quad \text{Coulombic Repulsions}$$

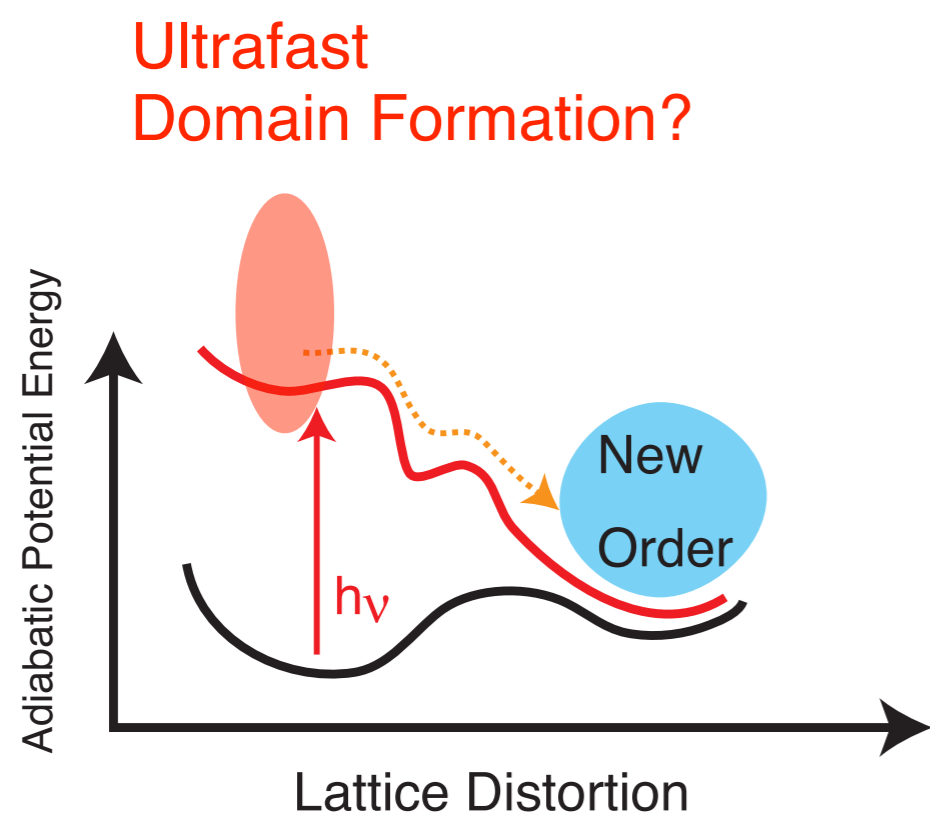
$$+ \Delta_{eff} \sum_{l=even} n_l \quad \text{Energy Difference between Homo (TTF) and Lumo(CA)}$$



Method: Dynamical Density-Matrix Renormalization Group (DDMRG) technique

電子転移ダイナミクス (理論提案)

超高速電子ドメイン成長



光励起によるイオン性相 (I相) ドメインの生成

分子B

分子A

基底状態

励起状態 $n_{ex}=1$

$n_{ex}=2$

$n_{ex}=3$

$2h\nu$

to

to

to

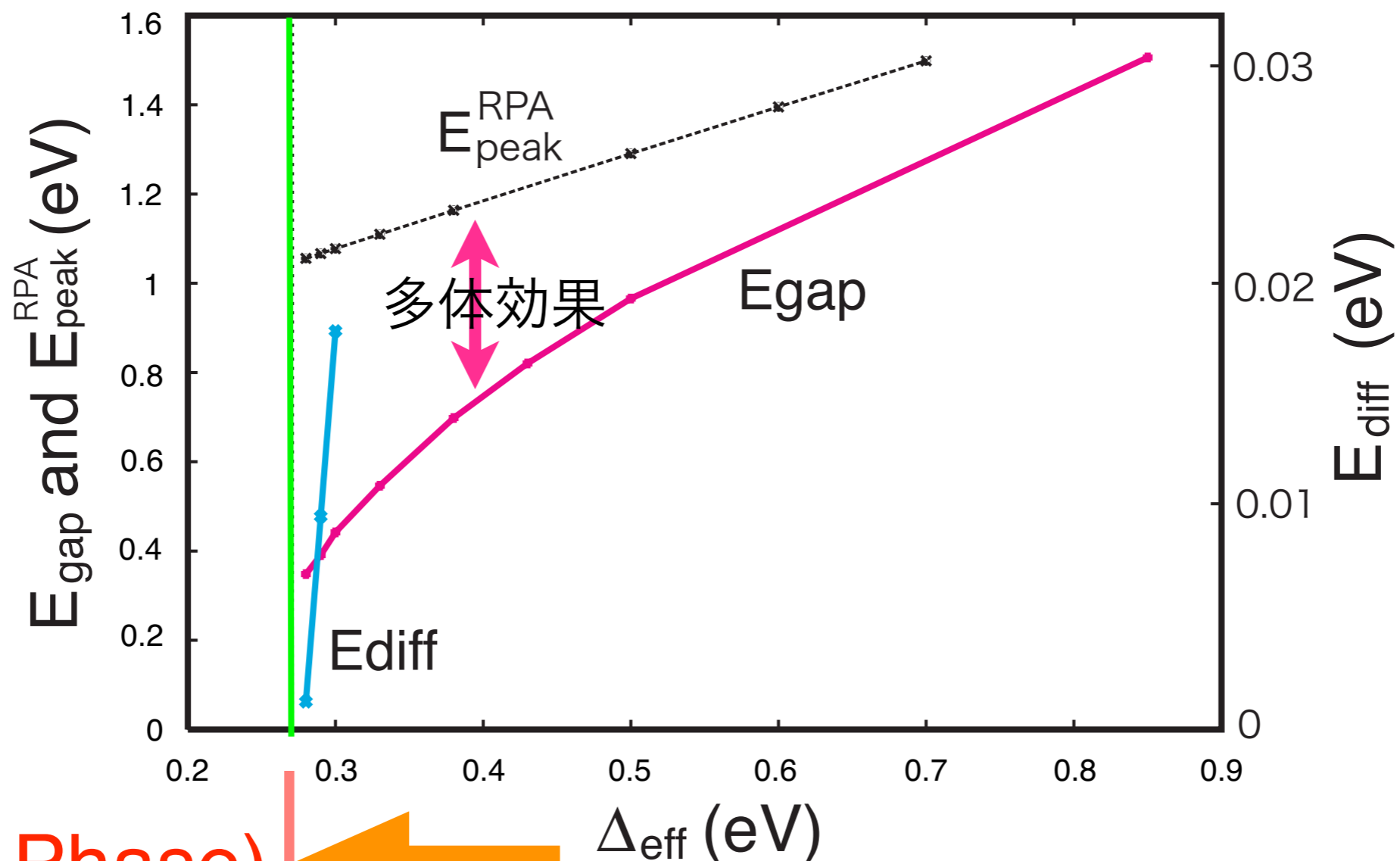
$E_{\text{domain}}(n_{ex}) = V + (2V + \Delta_{\text{eff}} - U)n_{ex}$

$(2V + \Delta_{\text{eff}} - U) \ll t_o$ @Phase boundary

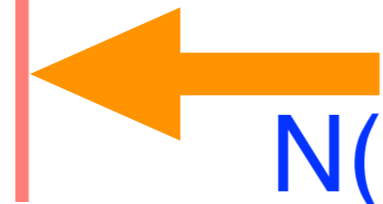
相境界で縮退

Phase Diagram of N-I system

$U=2.408$ eV, $V=1.070$ eV, and $t_0=0.17$ eV



I (Ionic Phase)



N (=Neutral phase)

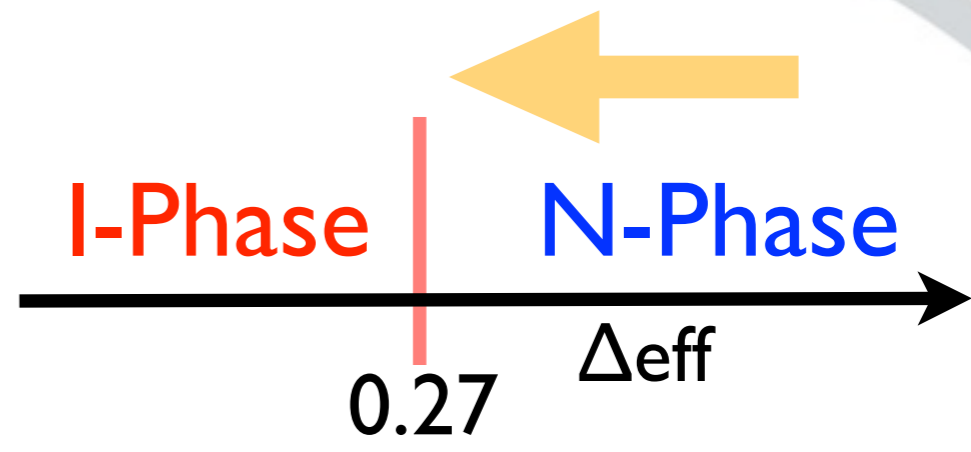
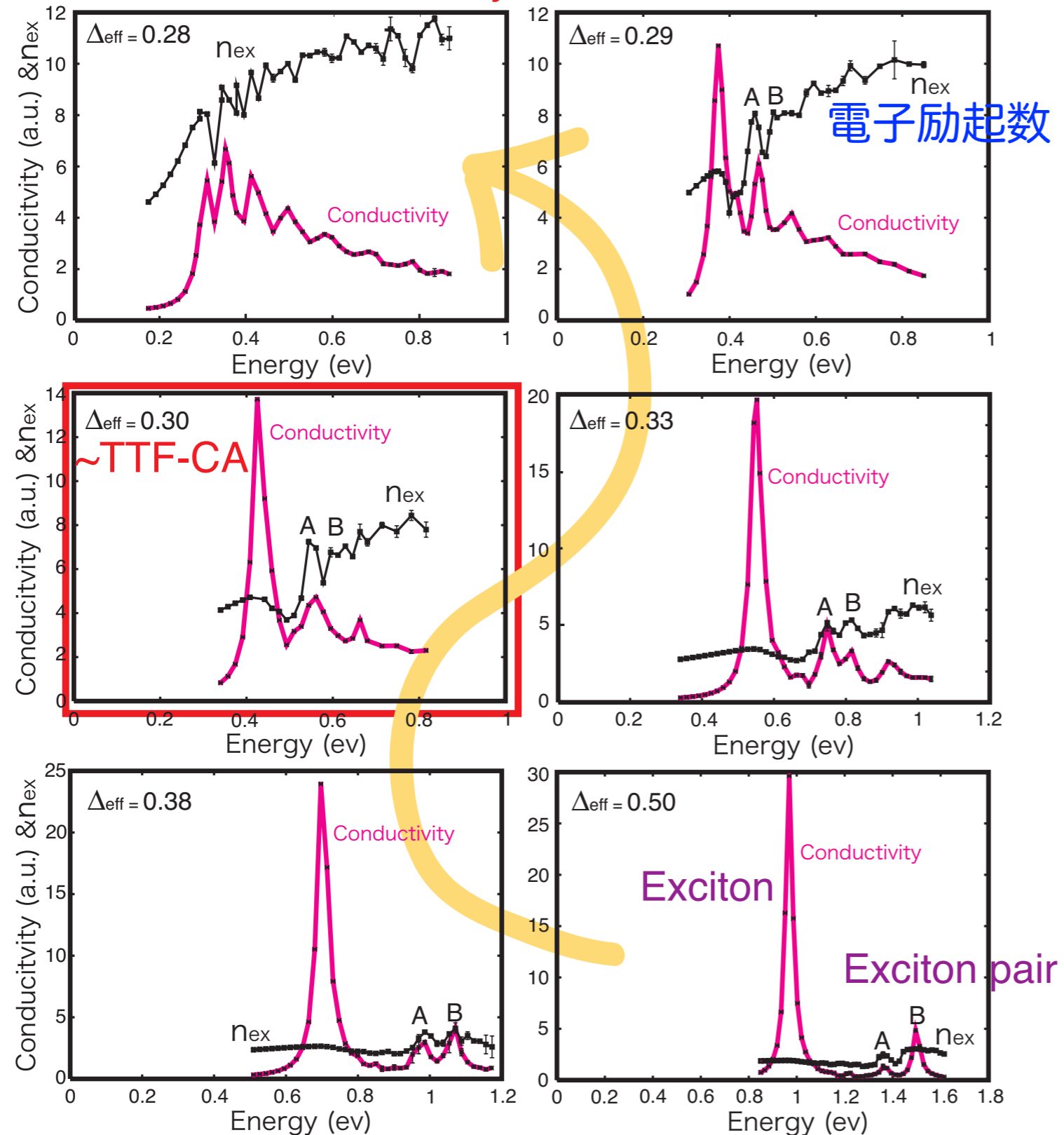
Approaching to phase boundary from the N side

KI, PRL97, 226404 (2006).

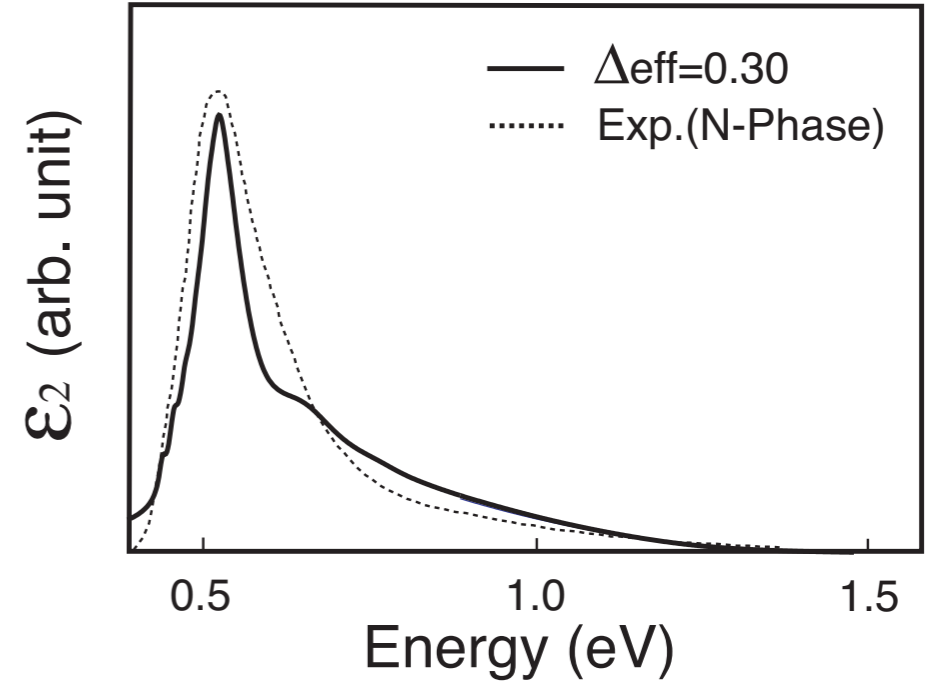
Optical Conductivity spectra in a 60-site open system

Large Spectral Anomaly

Almost on Phase Boundary



Comparison with Exp.

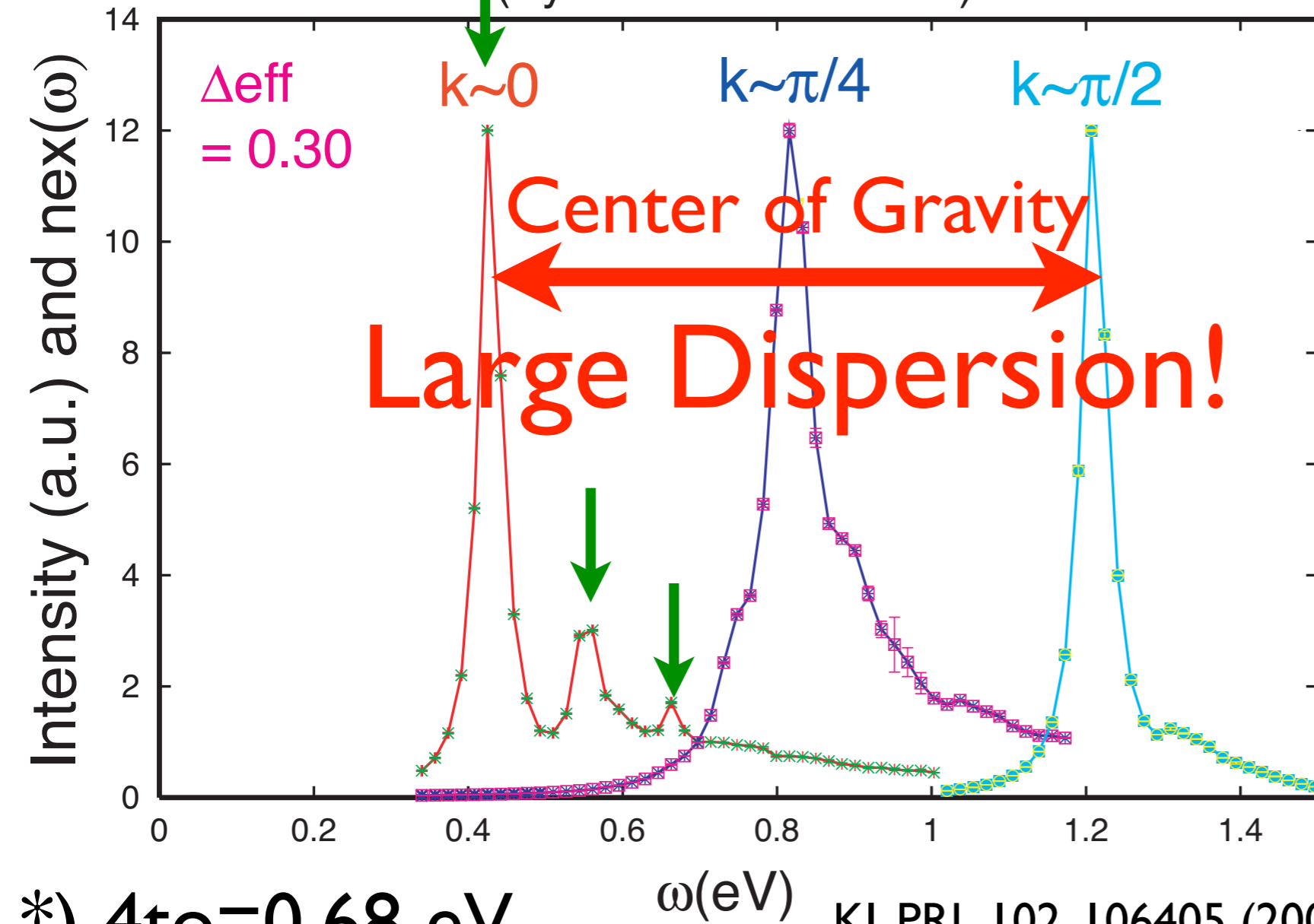


With further broadening assuming e-ph.

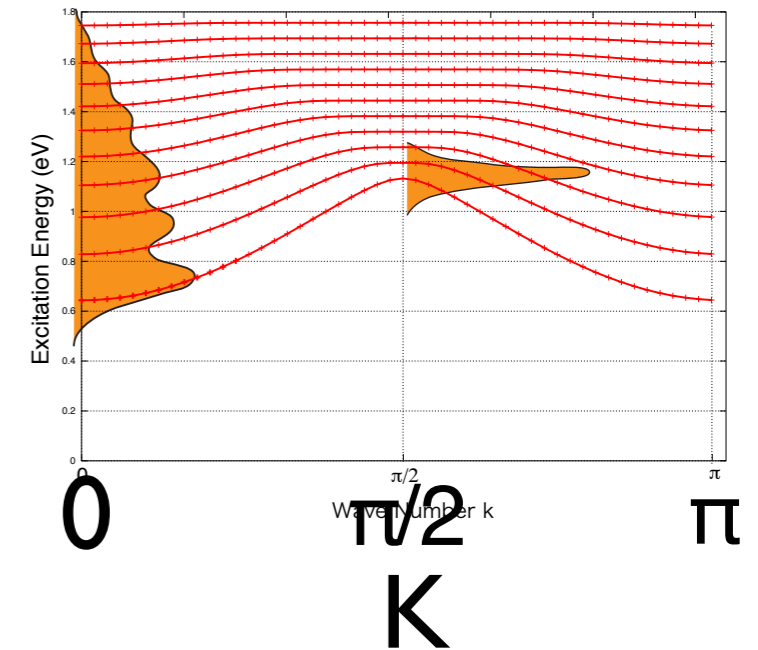
Inelastic X-ray scattering (**non-resonant**)
 = density-density correlation func.

Dispersion of Domain
 & ON/OFF of “Domain-domain conversion”

Normalized Inelastic X-ray Scattering Spectrum
 (System Size=60 sites)



ドメイン状態
 (有効モデルから)

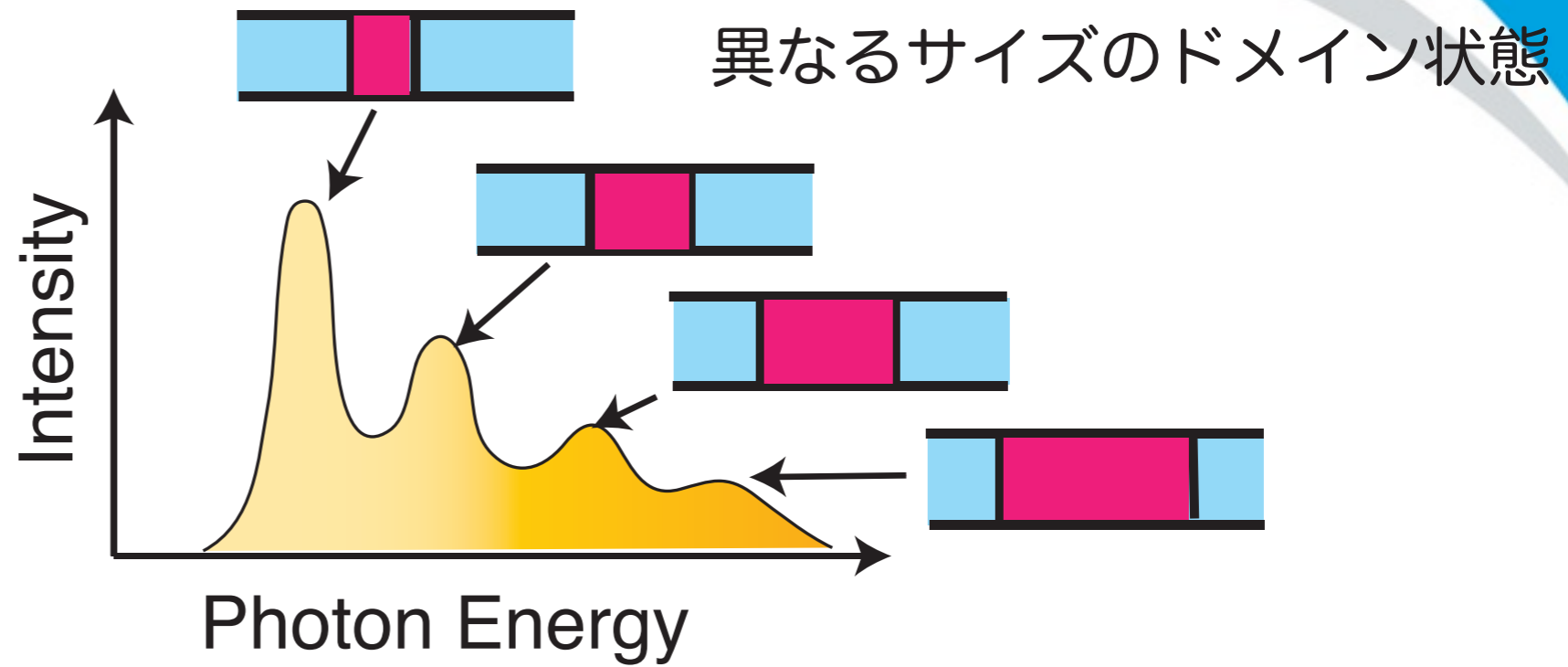


↓ Fine Structures
 Quantization of size

*) $4t_0 = 0.68$ eV

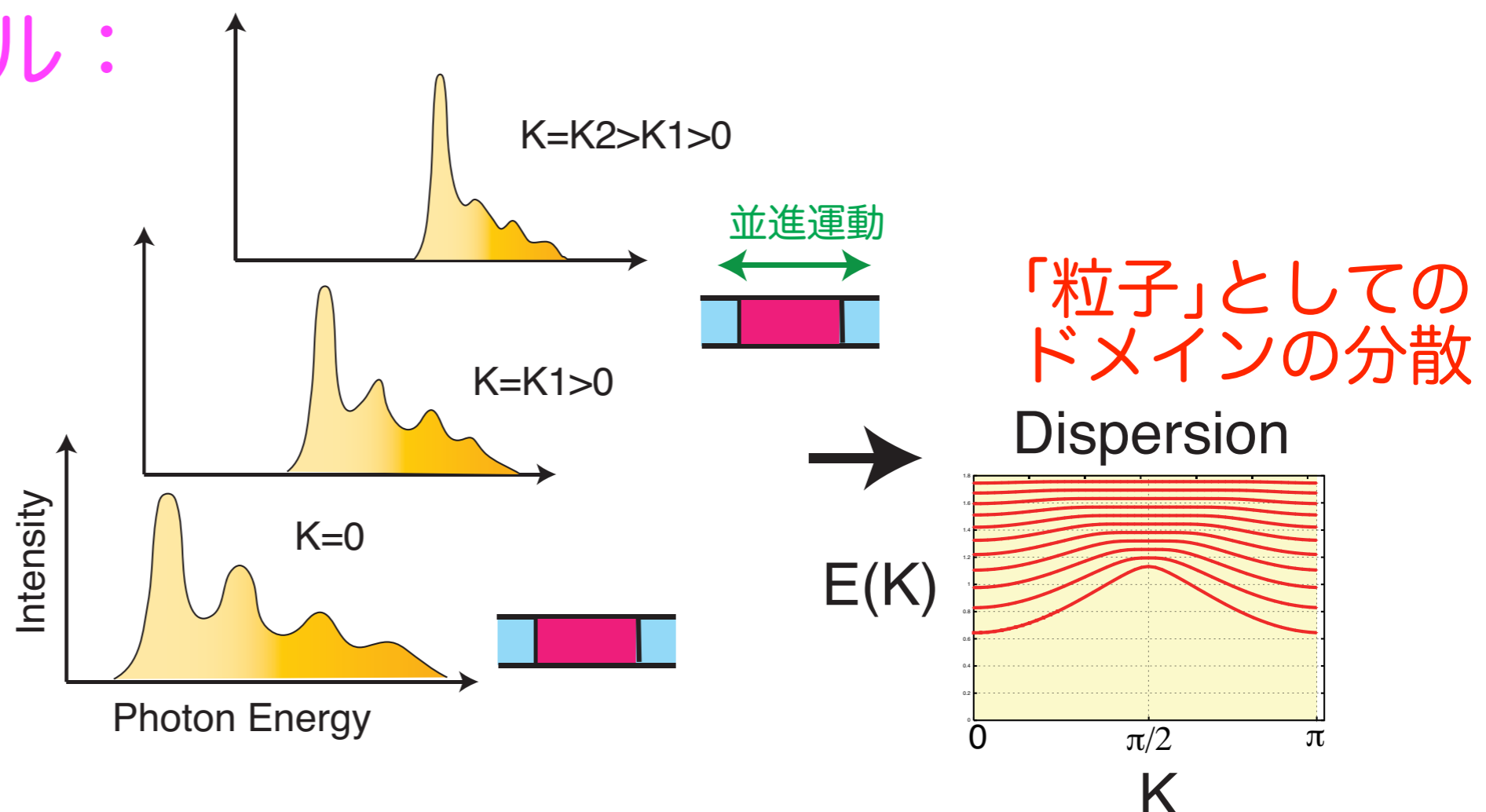
KI, PRL 102, 106405 (2009)

可視光線形スペクトル：
運動量 $K=0$

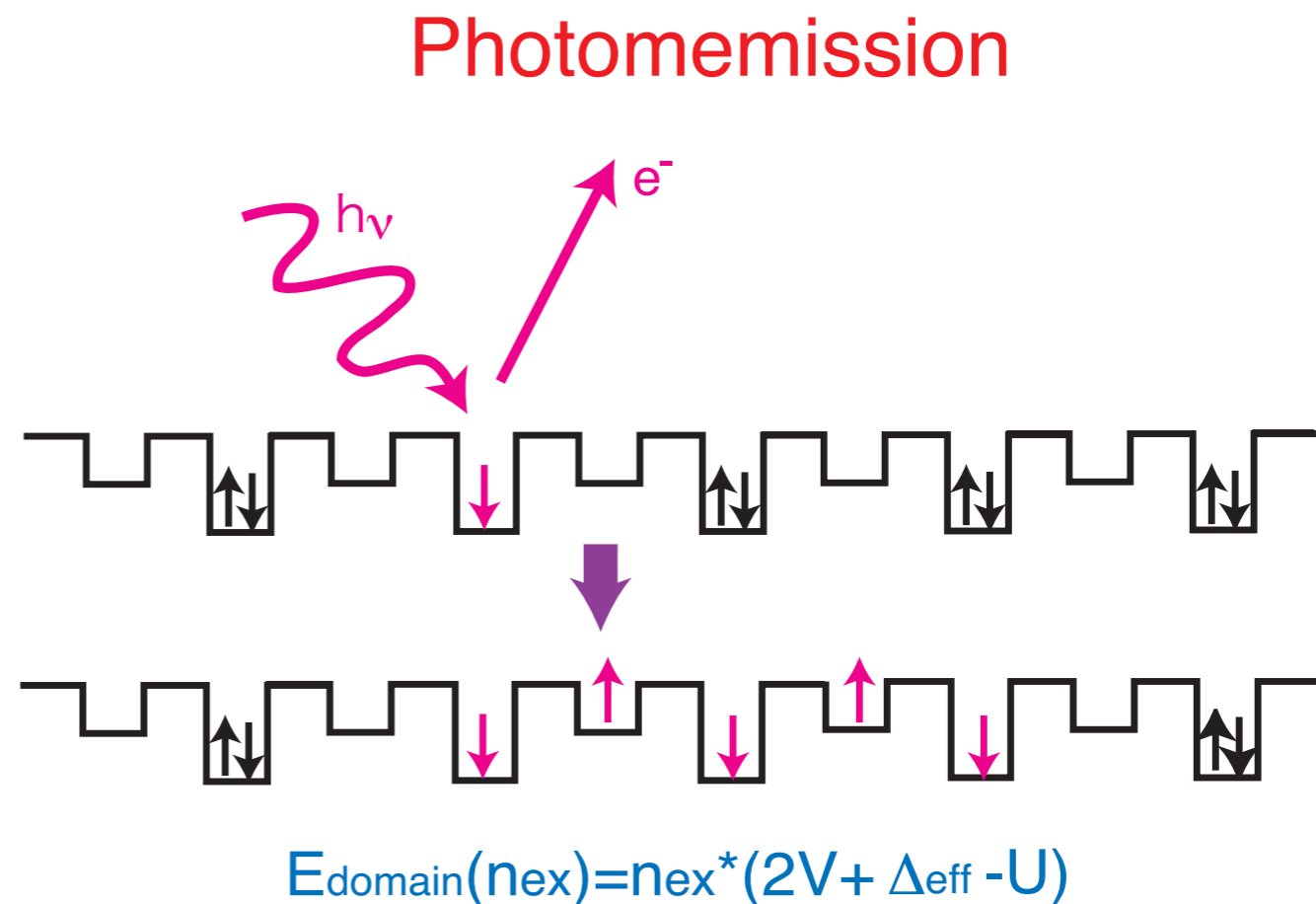
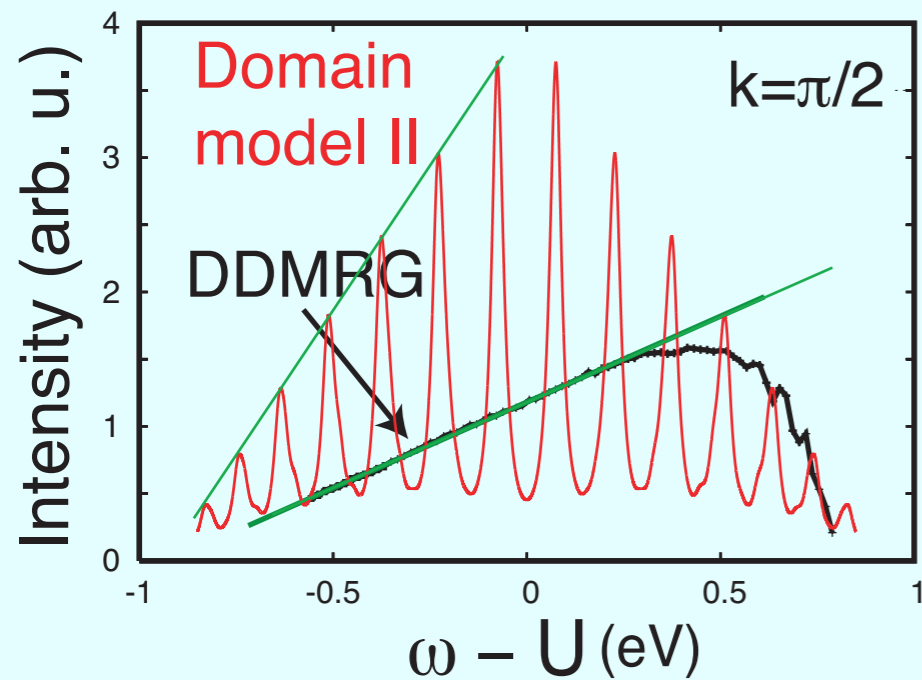
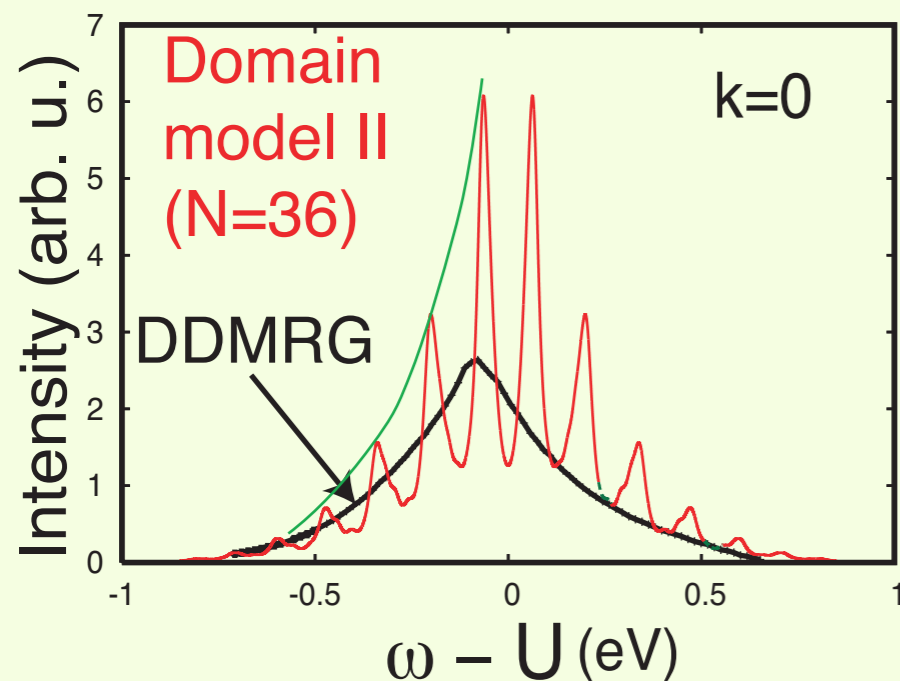


放射光スペクトル：
運動量 $K \neq 0$

異なるサイズの
ドメイン状態の
埋め込まれ方が
 K に依る！



スピン自由度を陽に考える必要のある場合 (角度分解光電子分光)

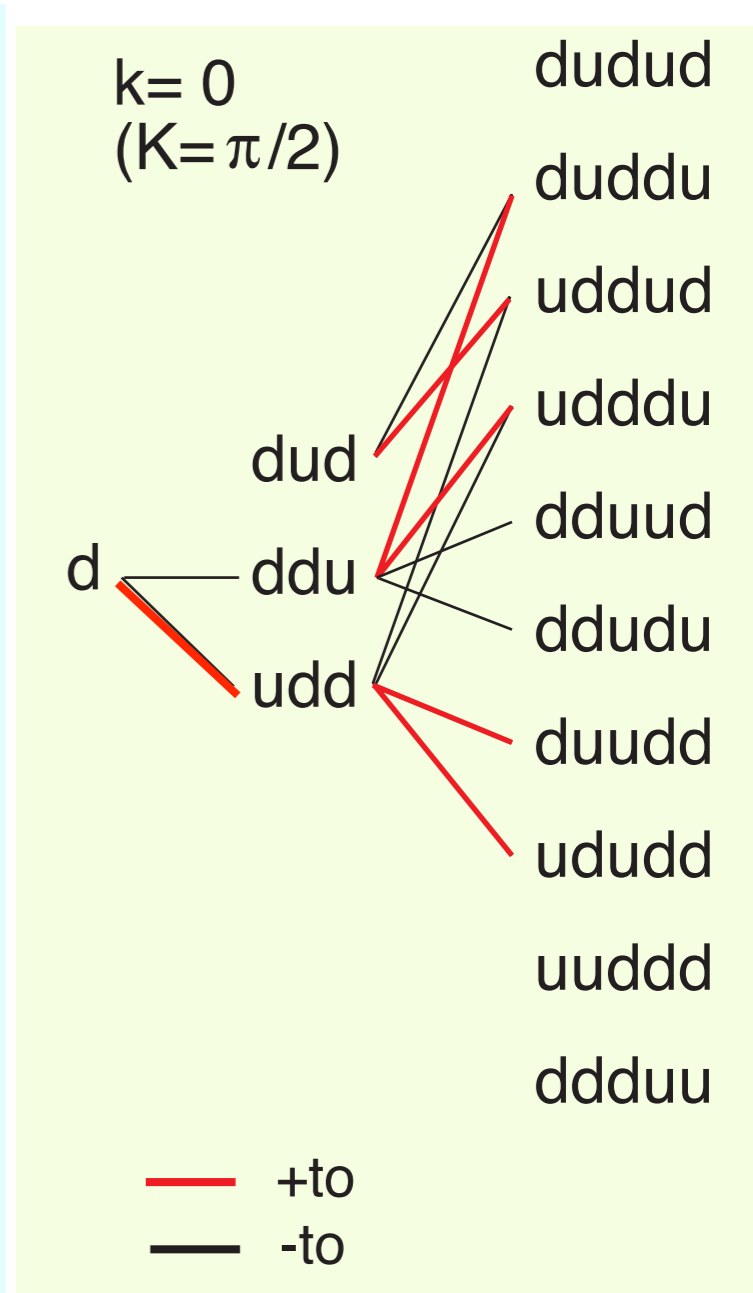
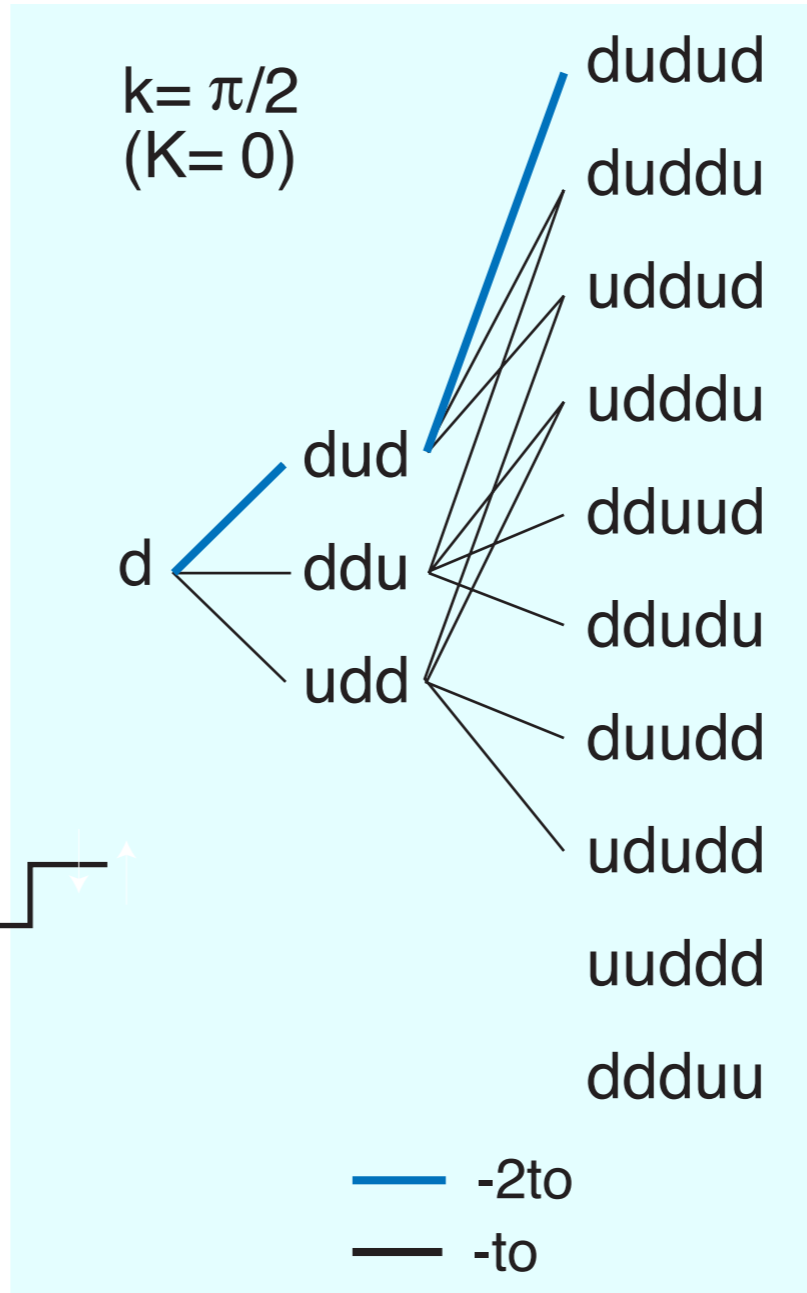
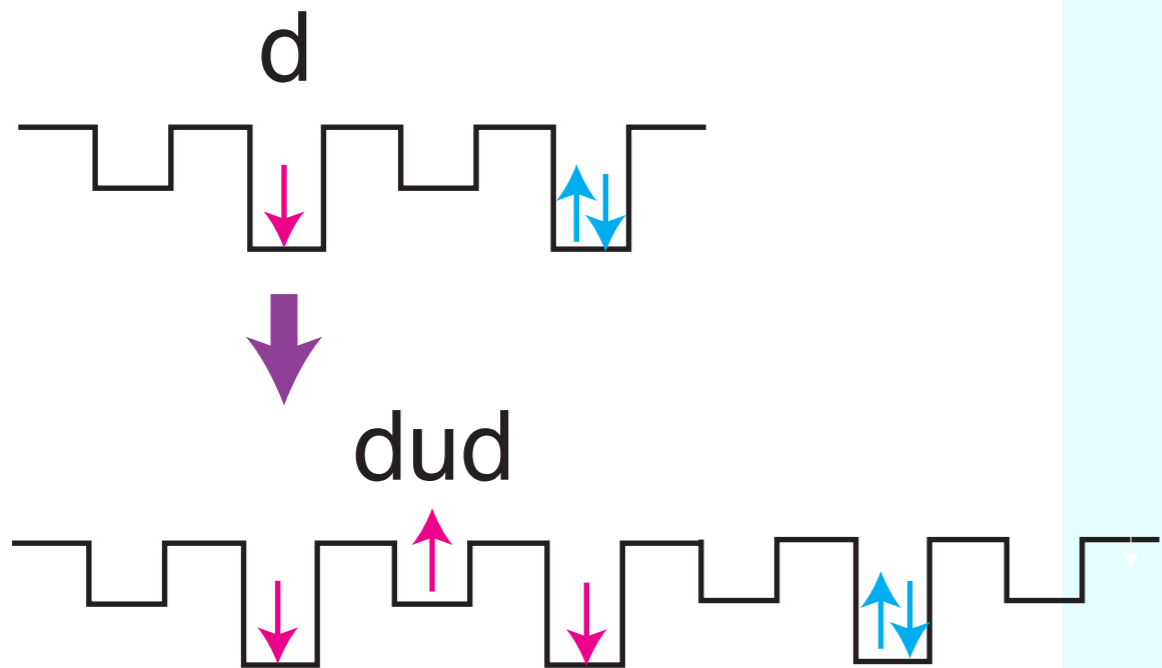


活性スピンの数 = 奇数

KI, PRL 102, 106405 (2009)

Domain Model II — Involvement of spins

“Domain Tree”

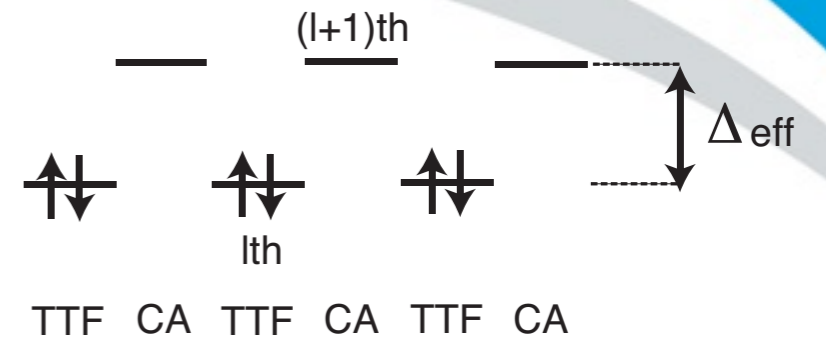


Domain Wall Properties

@phase boundary

Fractional Charges

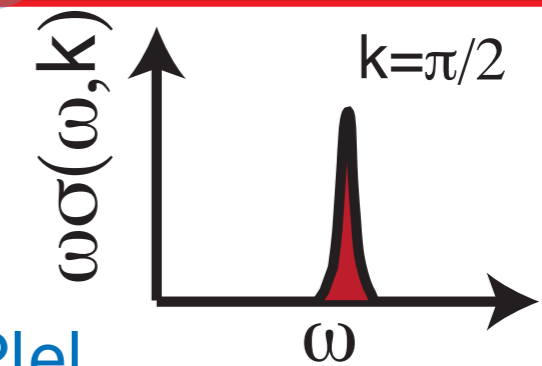
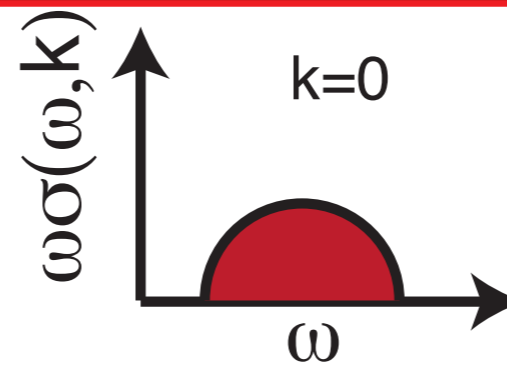
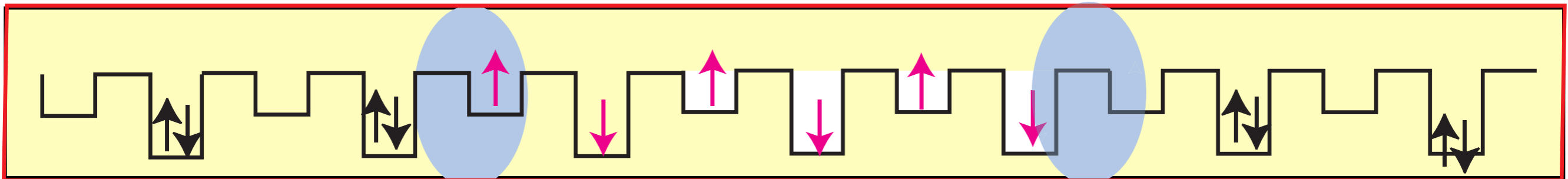
Ground State



Valence Excitation

$-1/2|e|$

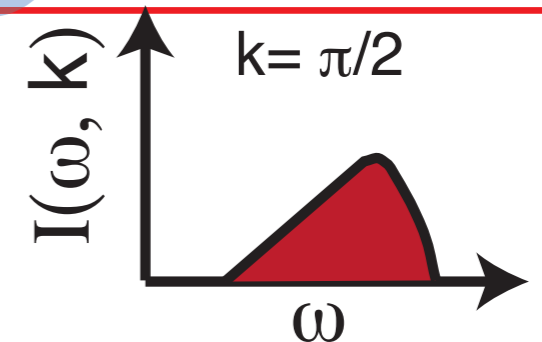
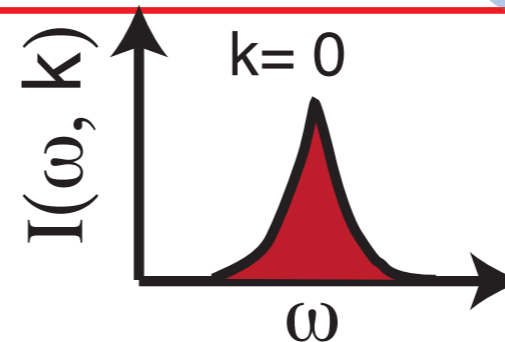
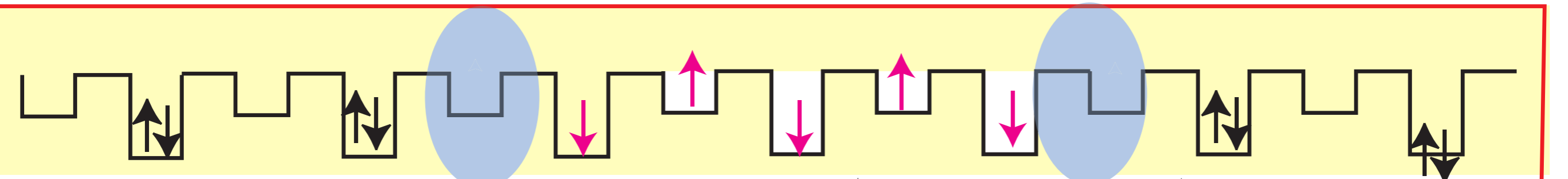
$+1/2|e|$



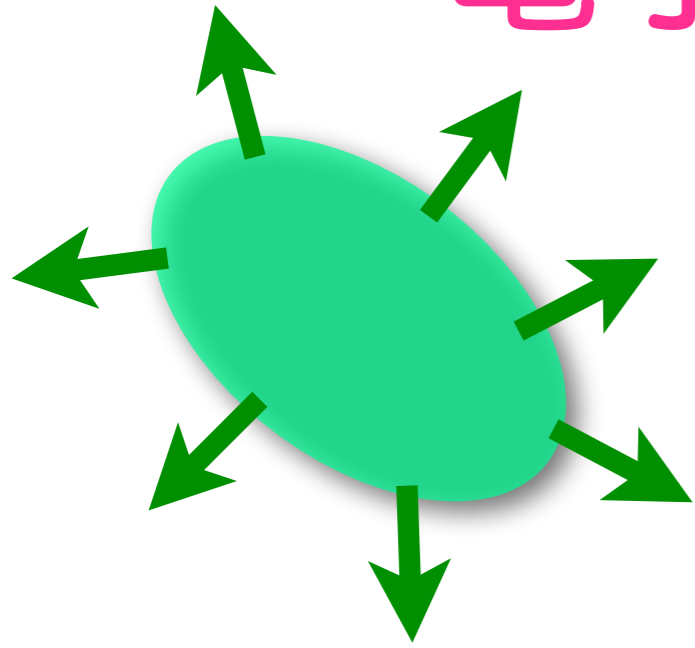
Photomission

$+1/2|e|$

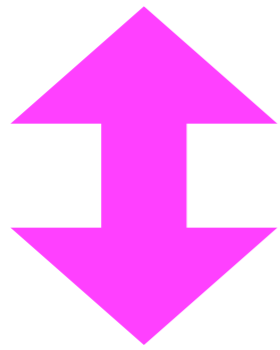
$+1/2|e|$



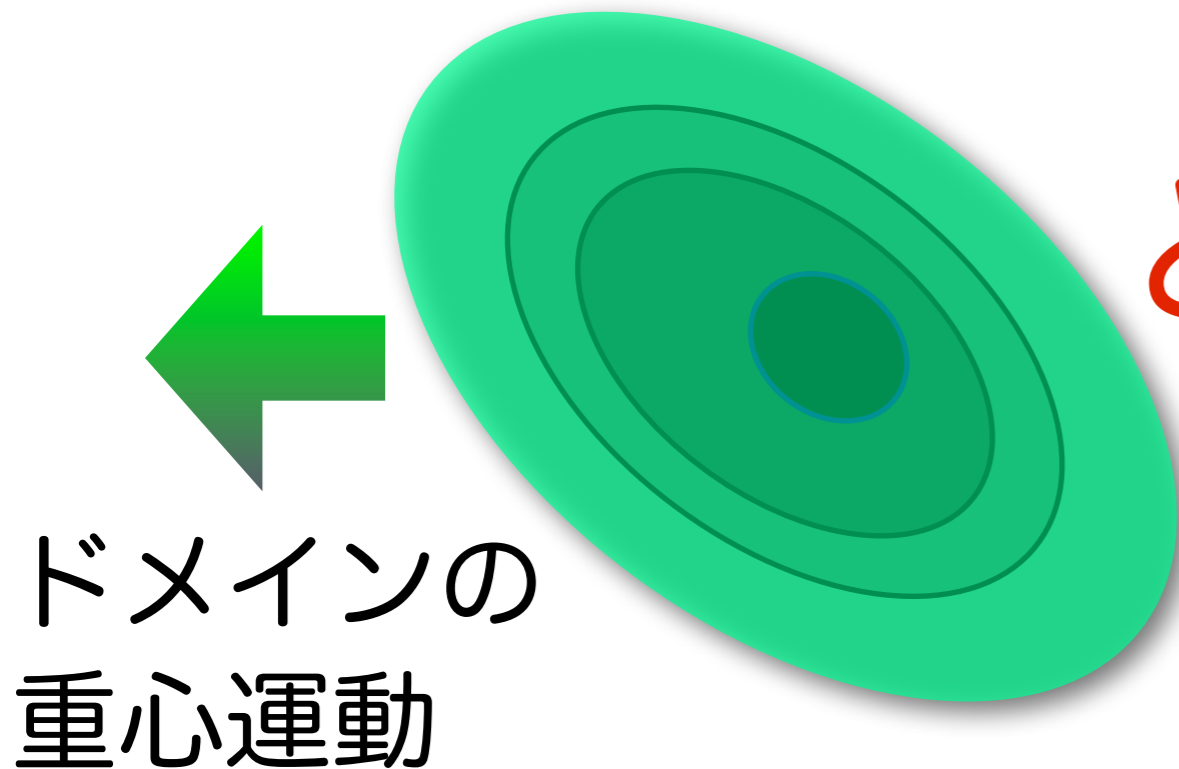
電子的光誘起相転移の考え方



ドメインの成長過程
(=実時間動力学)



「量子状態(素励起)」
としての記述



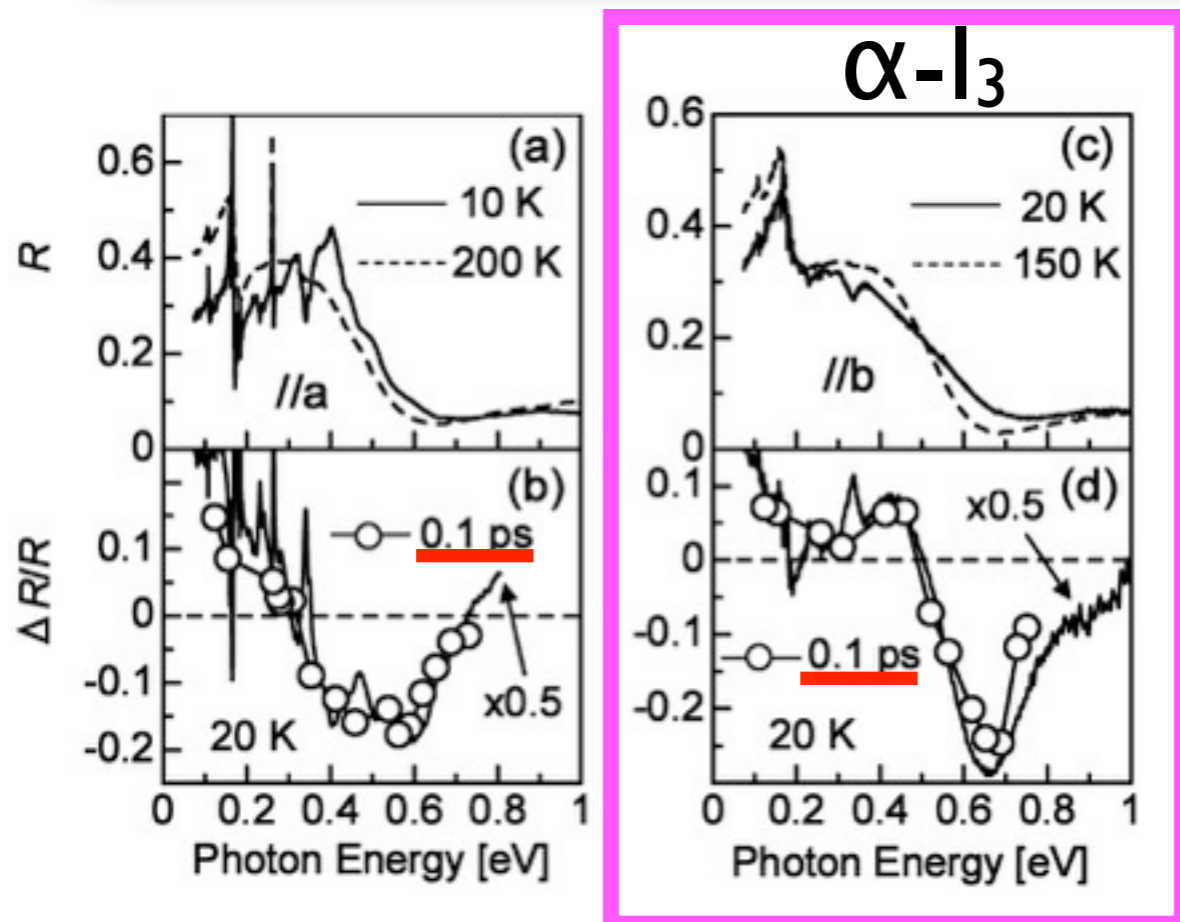
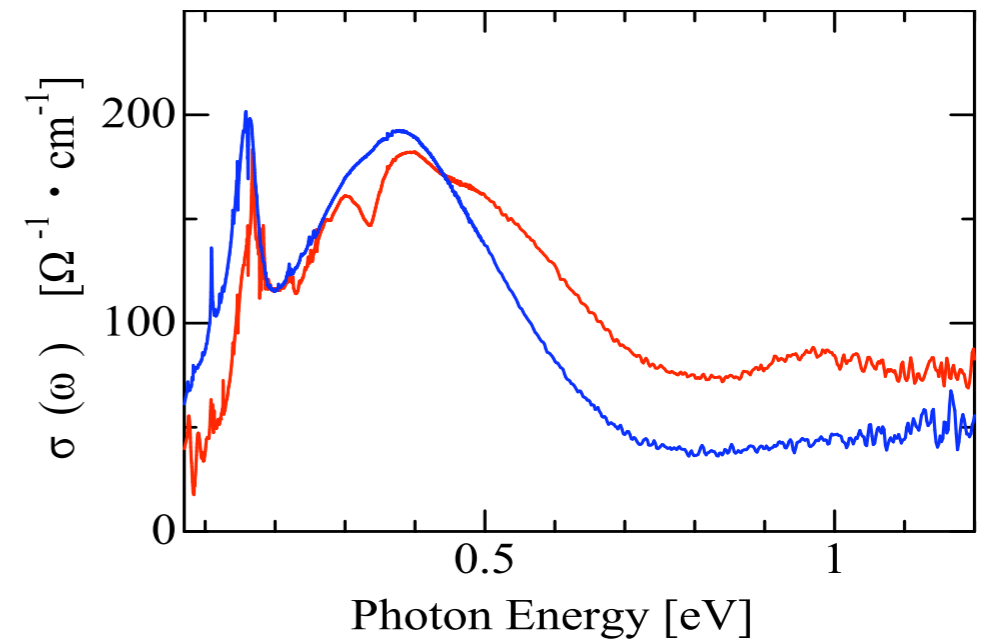
ドメインの
重心運動

2-dimensional systems(1/4-filled system): Organic charge-transfer salts

α -(BEDT-TTF)₂I₃

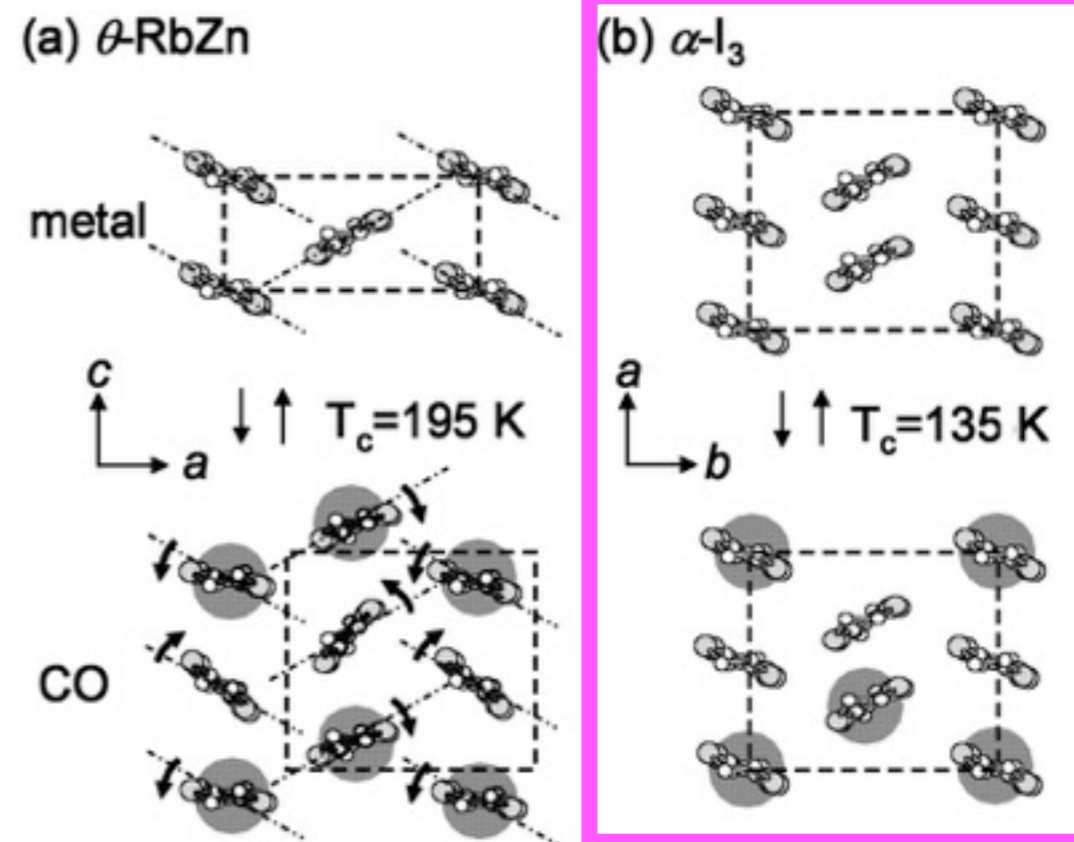
gap ~ as small as 0.1 eV.

Photoinduced Phase Transition
100~250 molecules/photon!

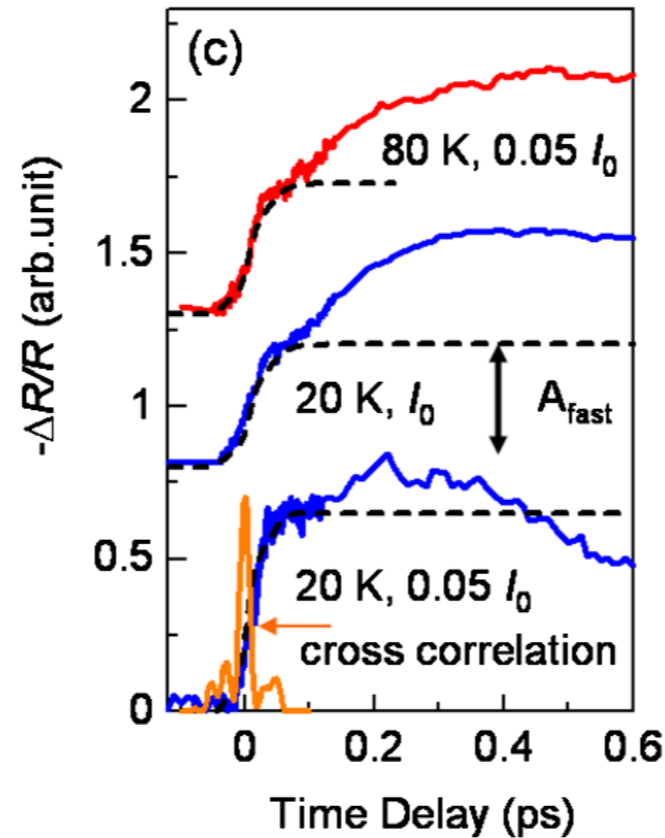
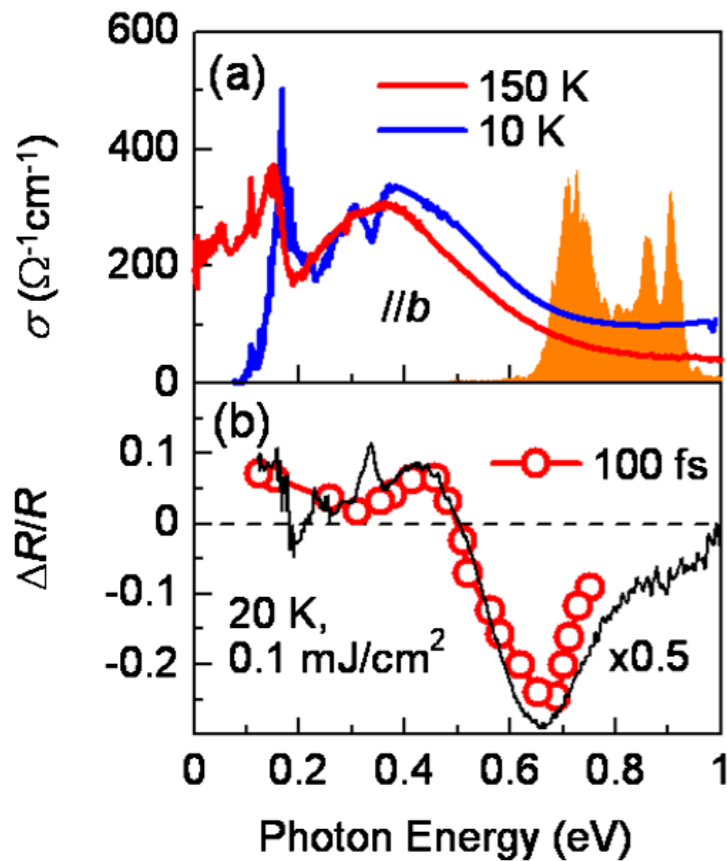


$E_{ex}=0.89\text{eV}$

Charge Ordering



By Iwai et al., PRL 98, 097402 (2007)



超高速！

The time scale of the initial rise in the $\Delta R/R$ signal ($< 20 \text{ fs}$) is as fast as that of the correlated electron motion, as discussed later.

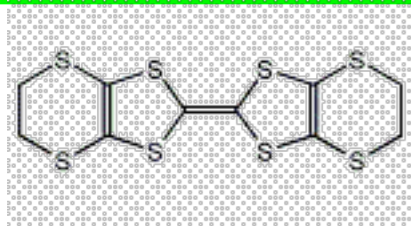
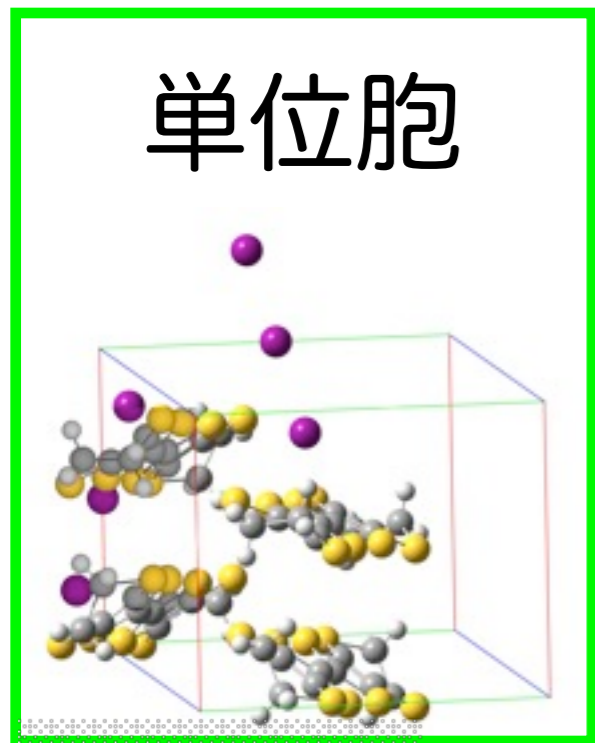
Kawakami et al., PRL 105, 246402 (2010)

線形性！

The magnitude of $\Delta R/R$ observed at 0.1–0.8 eV for $t_d = 0.1 \text{ ps}$ increases linearly with I_{ex} up to 0.1 mJ cm^{-2} .

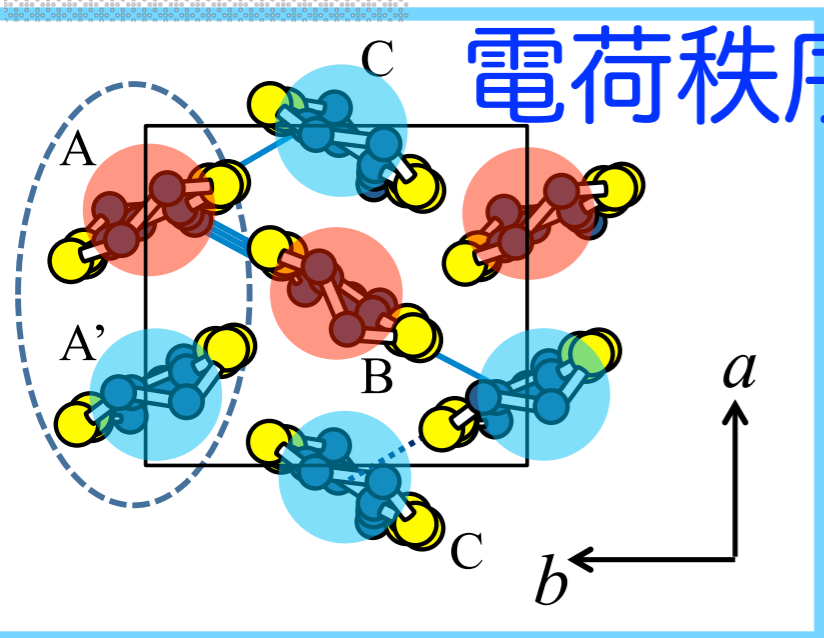
Iwai et al., PRL 98, 097402 (2007)

α -(BEDT-TTF)₂I₃

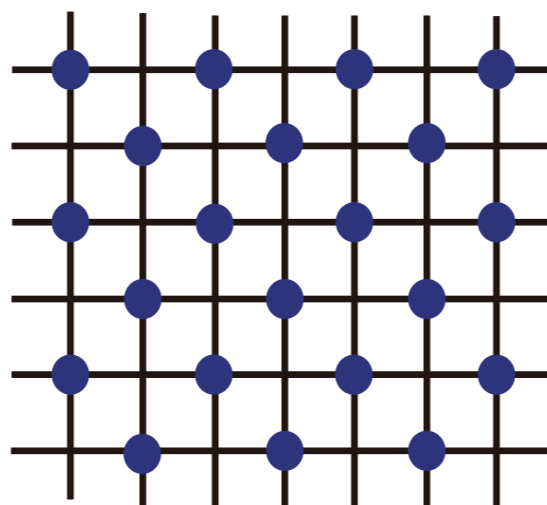


BEDT-TTF

電荷秩序



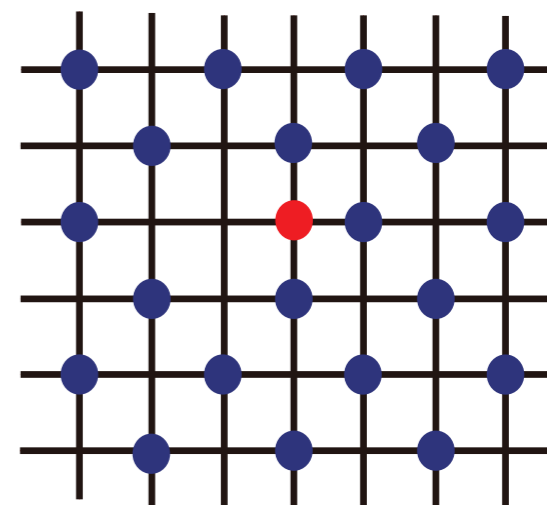
“電子氷”



● 電子

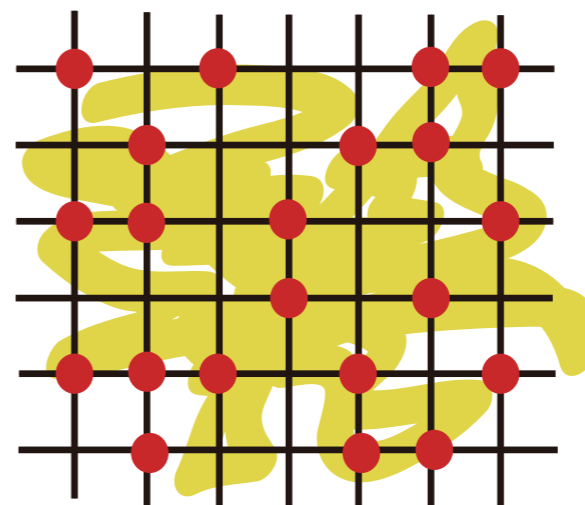
光

まず、1個だけ移動



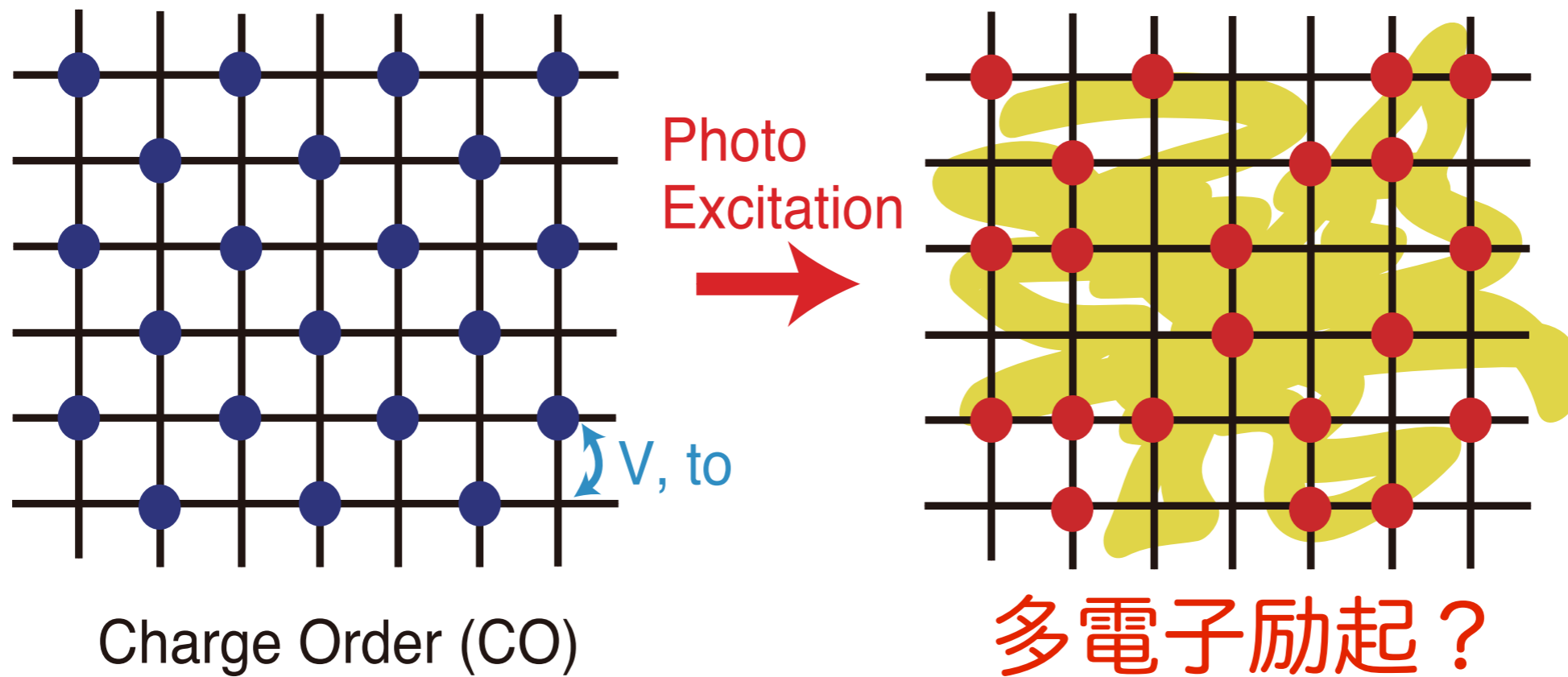
周りに波及!

“電子氷の融解”



~20フェムト秒後

2次元系電荷秩序系

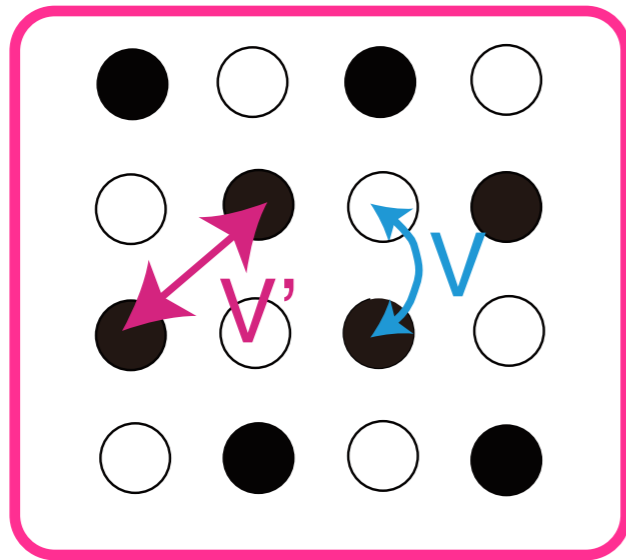


Spinless Fermion Model

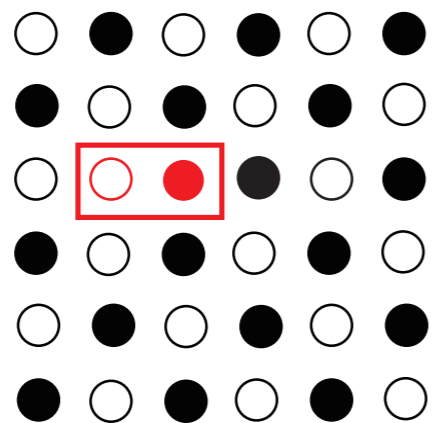
$$H = -t_0 \sum_l (C_{l+1}^\dagger C_l + h.c.) + \sum_{\langle l, l' \rangle} V(l-l') n_l n_{l'}$$

Ref. H. Hashimoto et al. JPSJ 83, 123703 (2014).

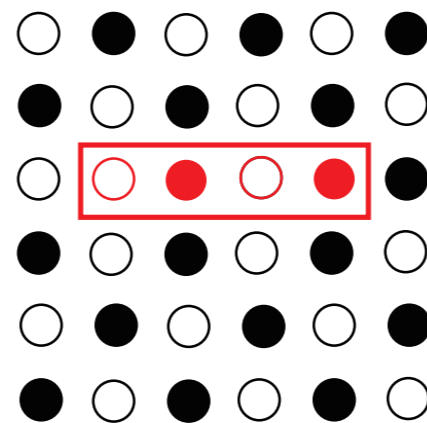
フラストレーション (V') の効果



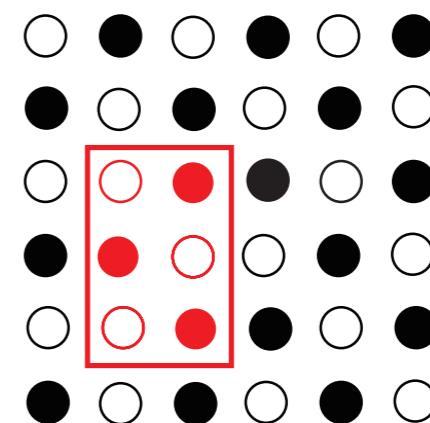
例えば、



1 exciton



2 excitons



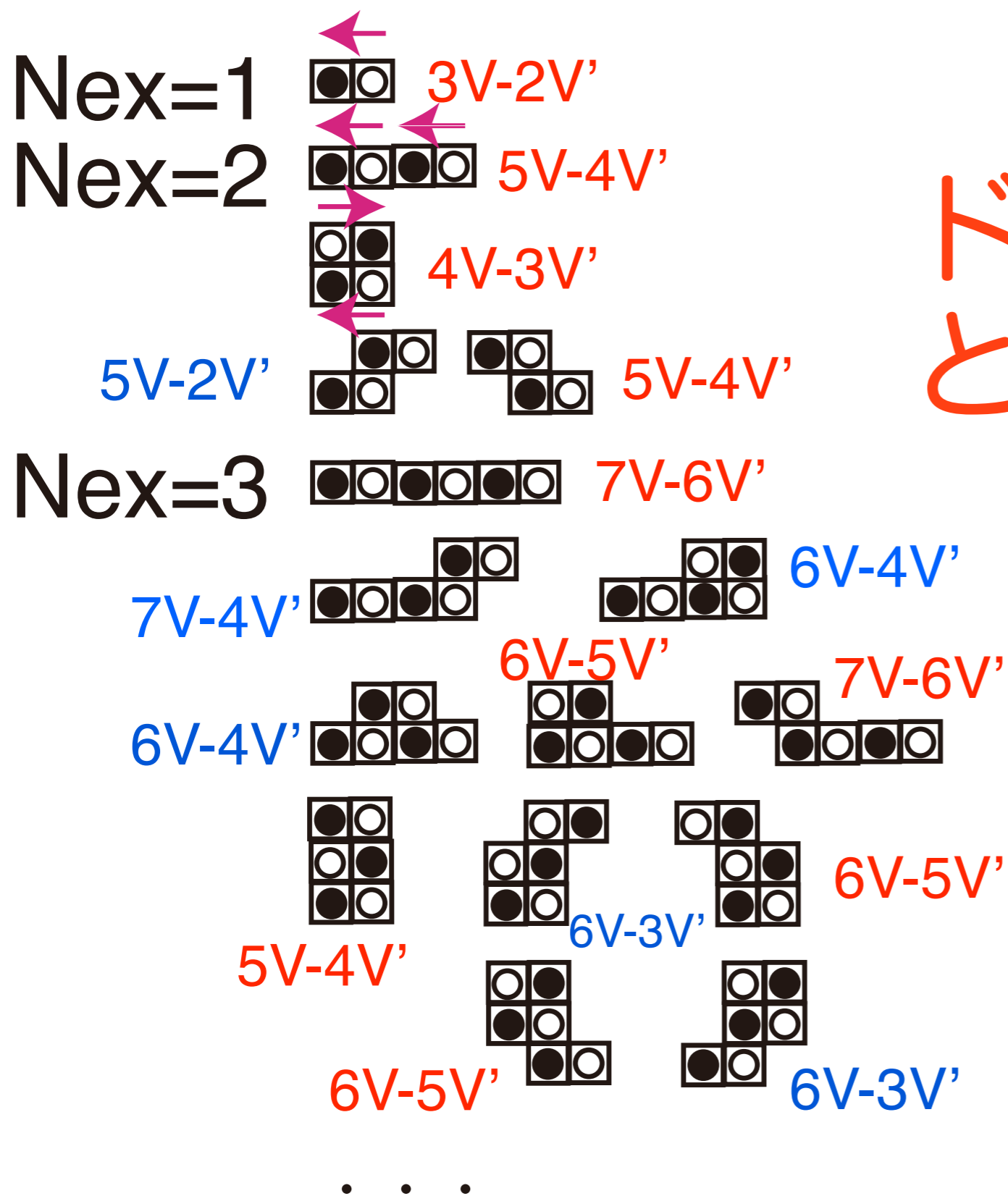
3 excitons

E_{ex}	$3V-3V'$	$5V-4V'$	$5V-4V'$
@ $V=V'$	V	V	V

(Rem: $V=V'$ は相境界)

◎相境界に近づくと励起状態同志が縮退

“Domain-animals”

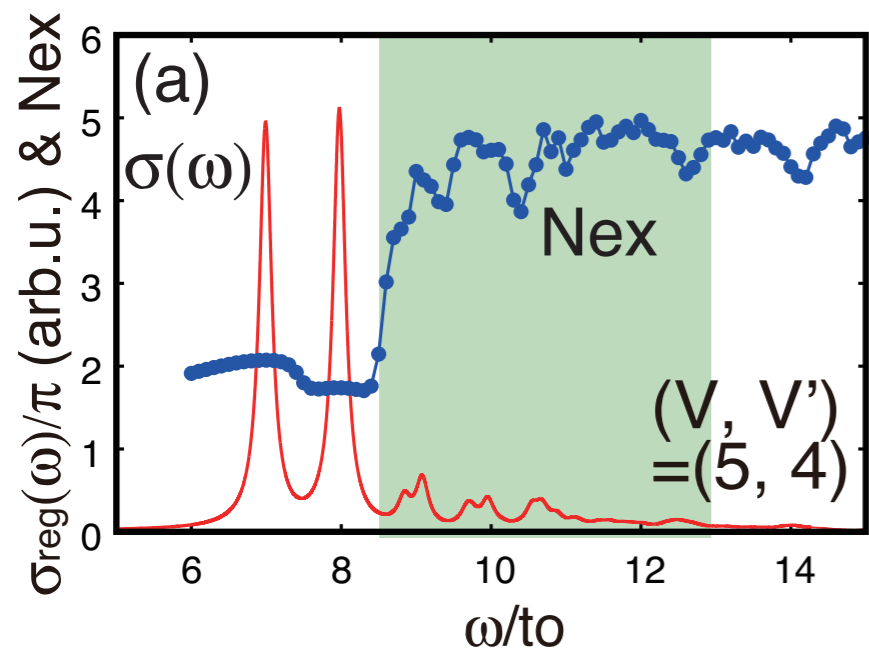


ドメイン形状
という自由度

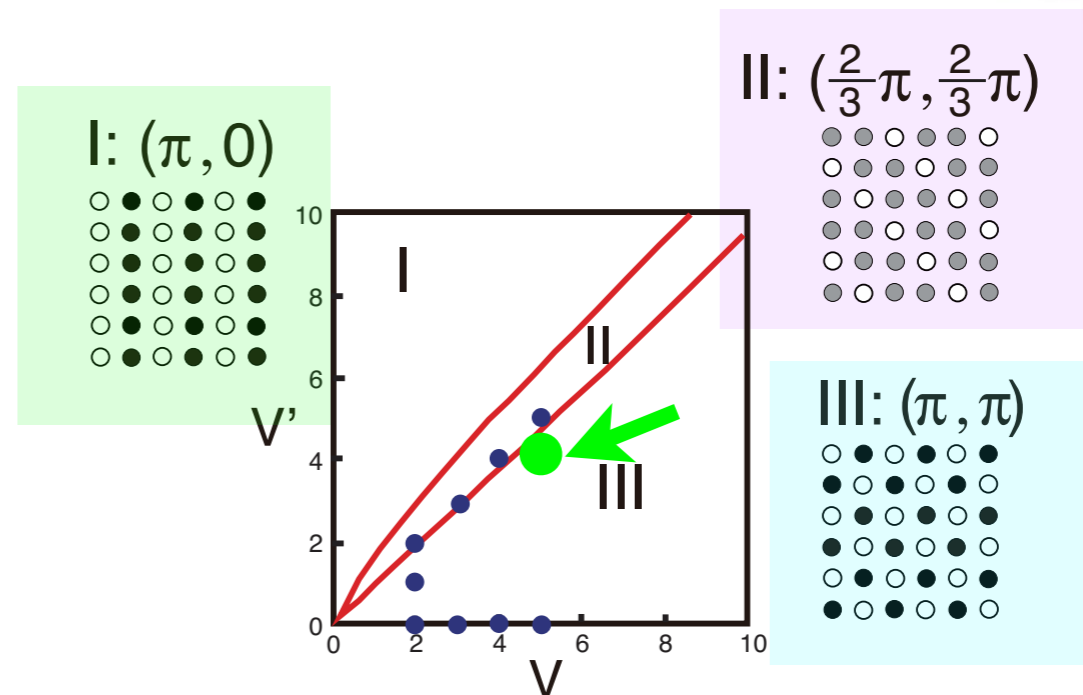
Rem.
相境界でも必ずしも
全ては縮退しない

6×6格子 光学伝導度スペクトル

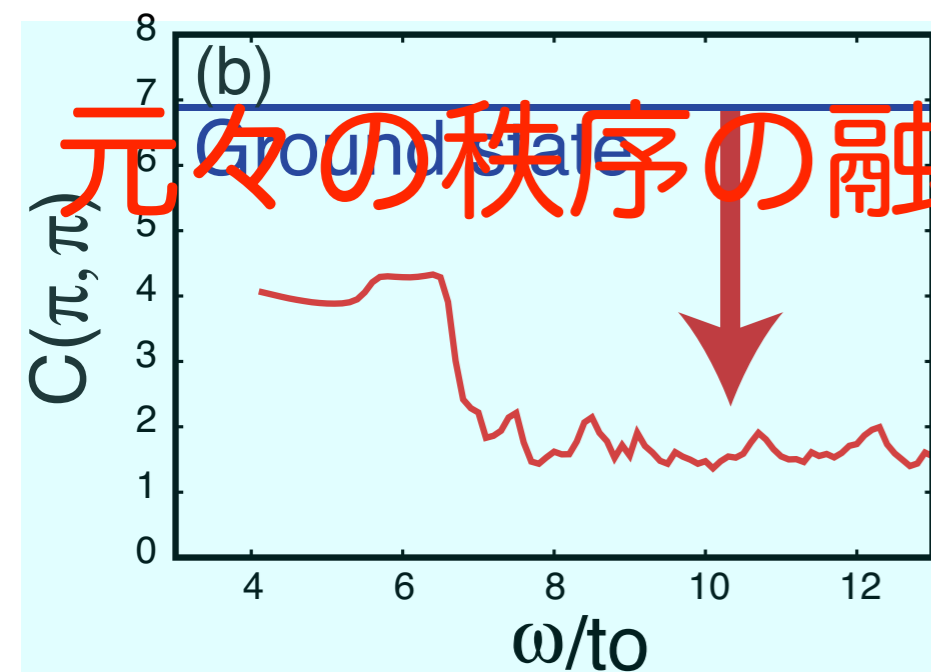
ドメイン状態
($N_{ex} > 4$
&有限な振動子強度)



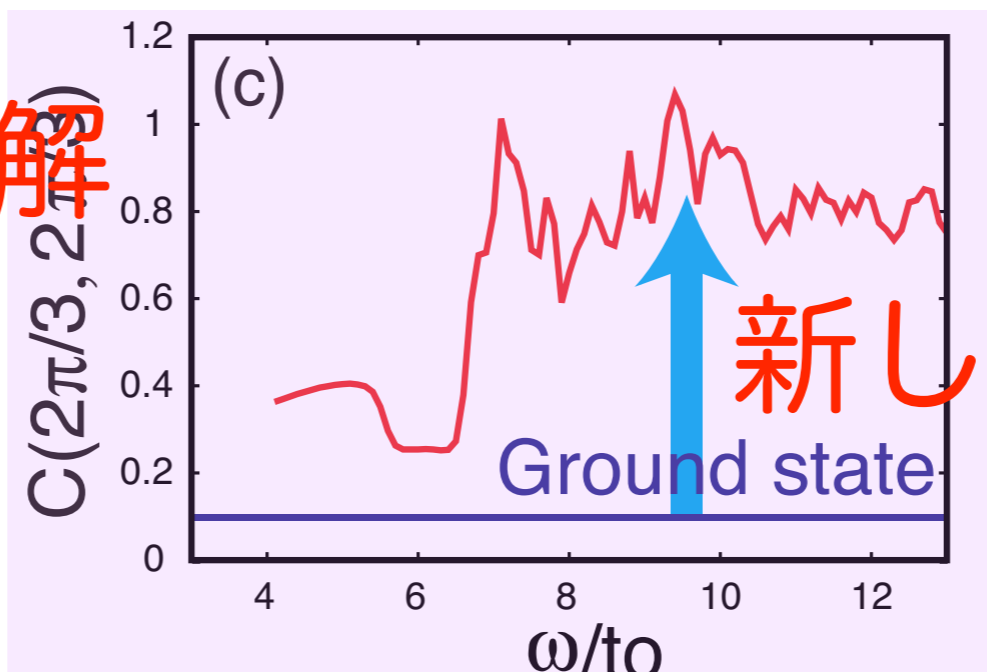
基底状態相図



Ref. C. Hotta et al., JPSJ 75, 123704 (2006). (Size=6×4)



元々の秩序の融解



新しい秩序の形成

KI, PRB 91, 115108 (2015).

まとめ

◎ 1, 2次元系の一部の物質群で ドメイン励起が観察できる可能性

- 2次元系の分散は理論でもまだ。
- 今までの理論は非共鳴で行った。
共鳴でも勿論観察可能と考えるが、
より複雑になると思われる。
- 物質は種類を問わない。
レーザー分光とのタイアップが望ましい。